

Versorgungssituation beim malignen Melanom in Deutschland

Olaf Schoffer¹, Martin Rößler¹, Stefanie J. Klug², Jochen Schmitt¹

**¹Zentrum für Evidenzbasierte Gesundheitsversorgung, Universitätsklinikum und Medizinische Fakultät
Carl Gustav Carus an der TU Dresden**

²Lehrstuhl für Epidemiologie, Fakultät für Sport und Gesundheitswissenschaften, TU München

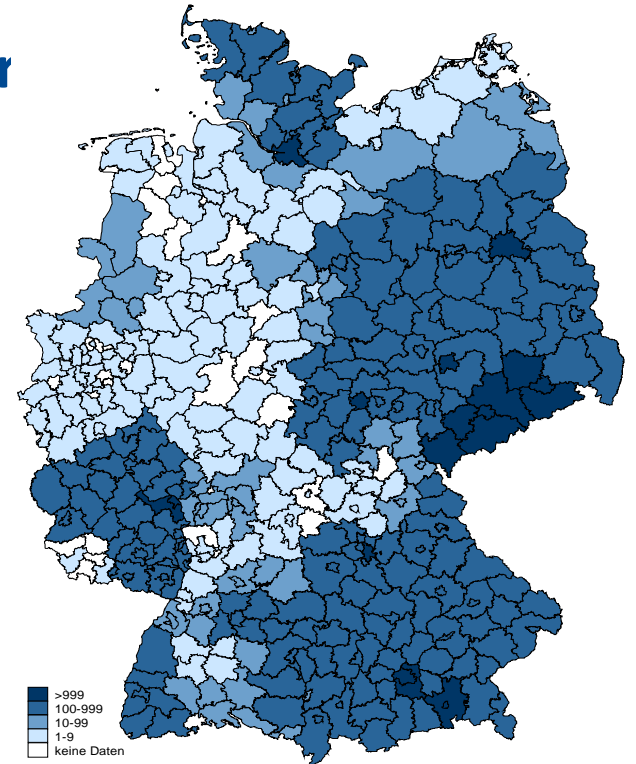
33. Deutscher Krebskongress, 22. Februar 2018

Daten Klinischer/Epidemiol. Krebsregister

- ⇒ Diagnose malignes Melanom (ICD-O: C44) im Zeitraum 2000-2016
- ⇒ Erhalten: 142.169 Datensätze aus 21 bevölkerungsbezogenen und 7 einrichtungsbezogenen Krebsregistern in 12 Bundesländern
- ⇒ Analyse¹: 120.064 Patienten (♀: 59.186, ♂: 60.878)

¹ Einschlusskriterien: Patienten mit Diagnose im o.g. Zeitraum, Alter ab 15 J., bestätigte Melanom-Histologie, kein DCO-Fall

Fallzahl nach Wohnort der Patienten²

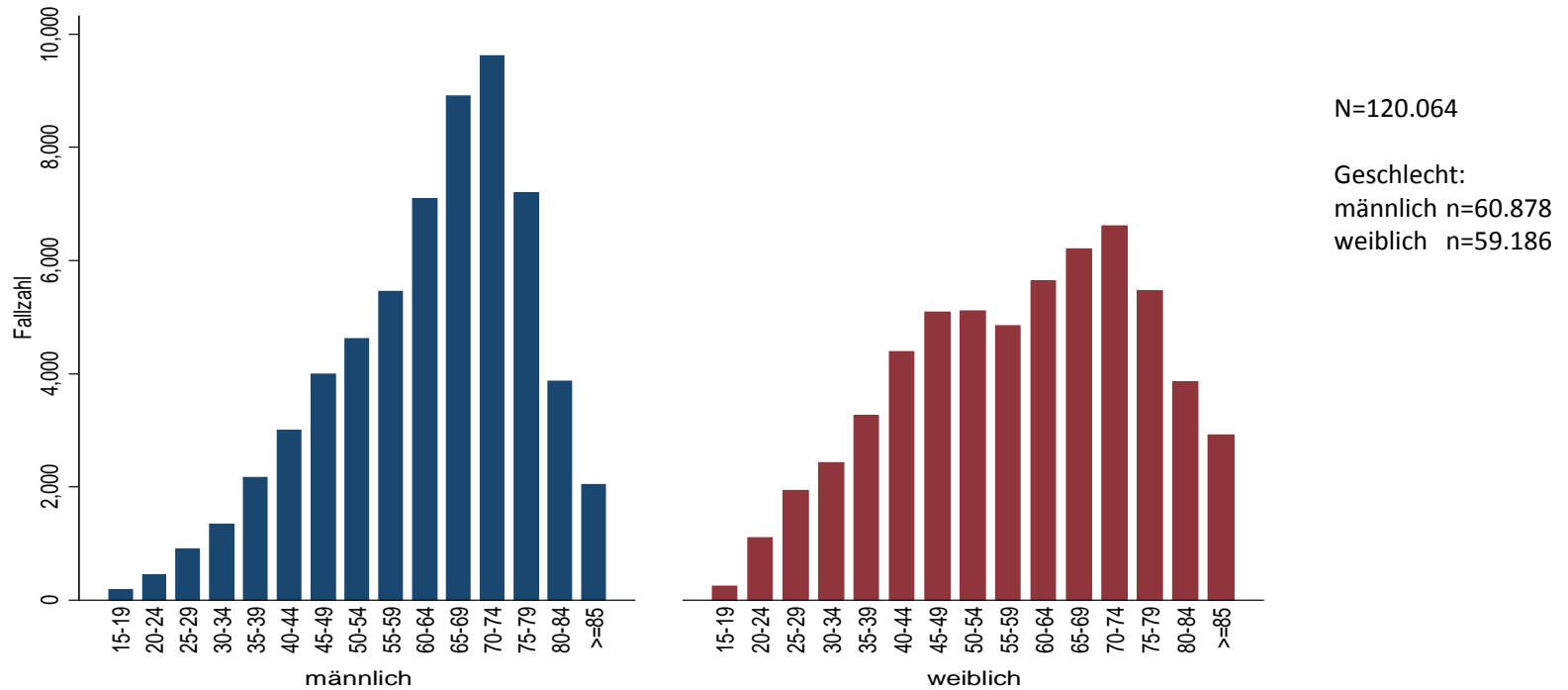


² Randomisierte Zuordnung der Kreisangabe im Einzugsgebiet des Registers bei fehlender Regionalangabe

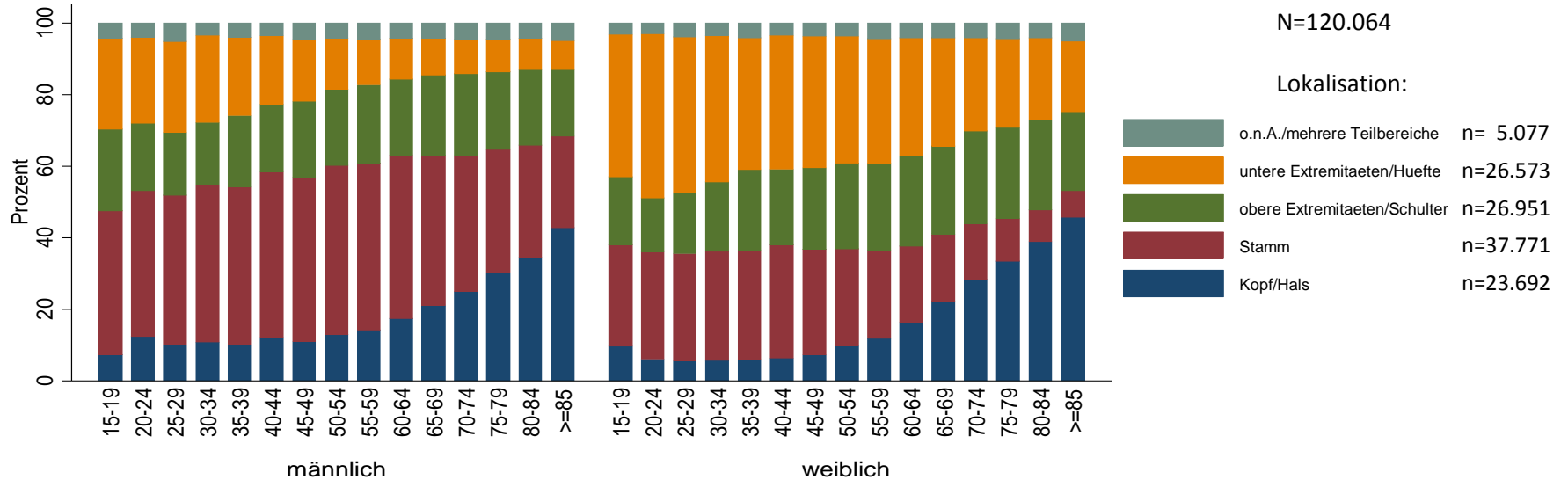
Auswertung der Daten Klinischer Krebsregister zum malignen Melanom – Fragestellungen

- ⇒ Alters-/Geschlechtsverteilung mit Bezug auf Lokalisation und Histologie
- ⇒ Veränderung in der Stadienverteilung über die Zeit, auch in Bezug auf das 2008 eingeführte Hautkrebsscreening
- ⇒ Überlebenszeitanalysen

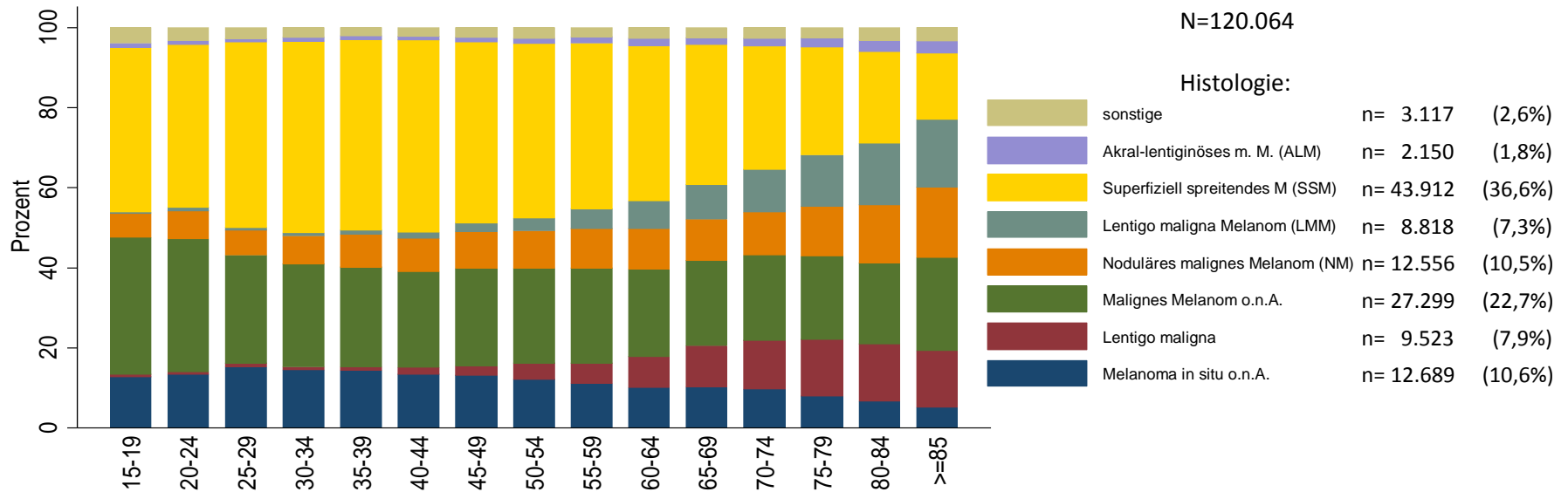
Alter bei Diagnose nach Geschlecht



Verteilung der Lokalisation nach Altersgruppen und Geschlecht

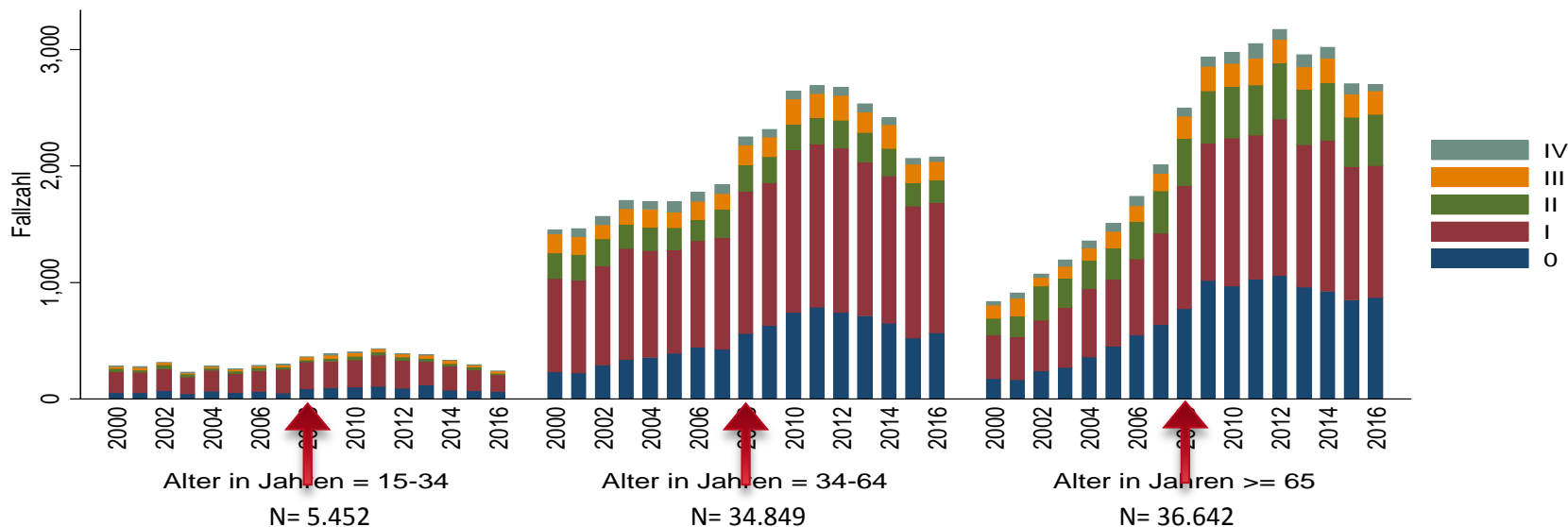


Verteilung der Histologie nach Altersgruppen



Absolute Häufigkeit der UICC-Stadien 2000-2016

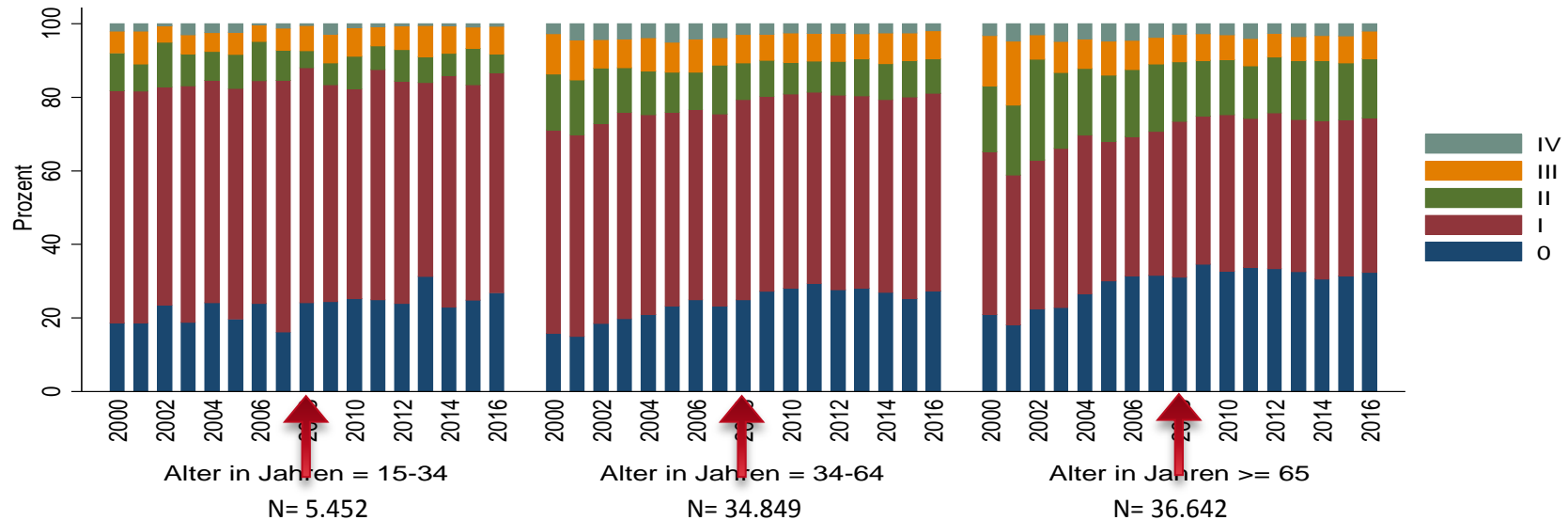
Stadien UICC 0 - IV



N=76.934 (nur Register mit Daten aus komplettem Zeitraum, ohne Fälle mit UICC X)

Verteilung der UICC-Stadien 2000-2016

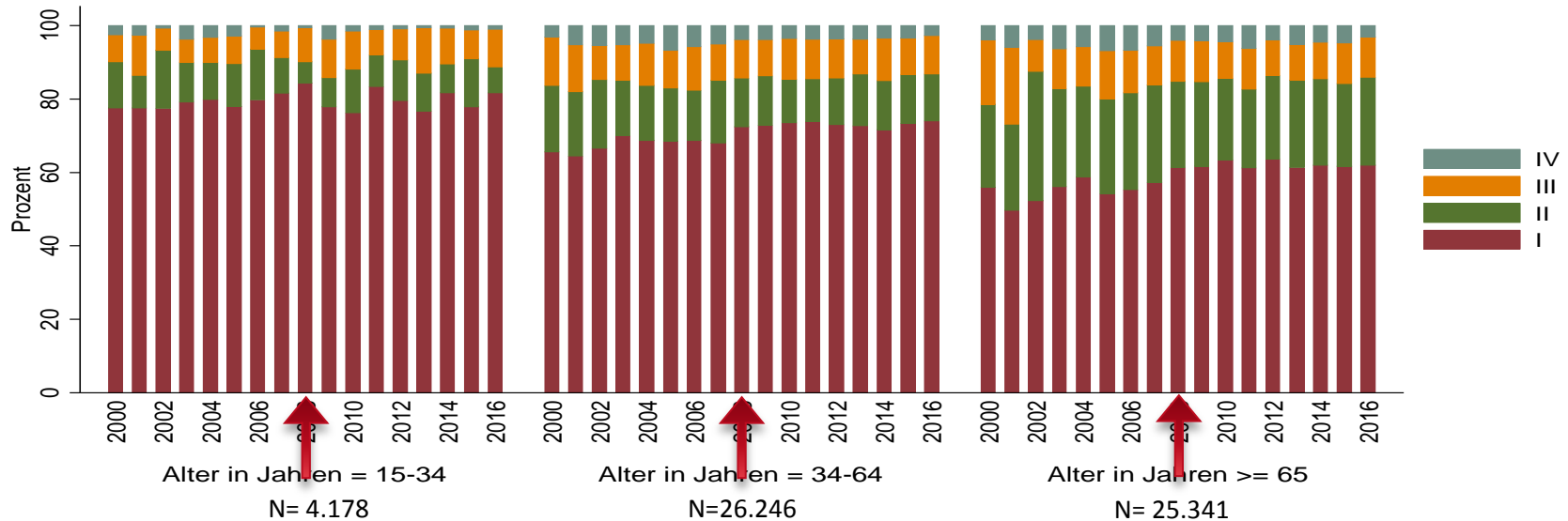
Stadien UICC 0 - IV



N=76.934 (nur Register mit Daten aus komplettem Zeitraum, ohne Fälle mit UICC X)

Verteilung der UICC-Stadien 2000-2016

Stadien UICC I - IV



N= 55.765 (nur Register mit Daten aus komplettem Zeitraum, ohne Fälle mit UICC X)

Verteilung der UICC-Stadien 2002-2016

➔ Joinpoint Regression (Trend der Stadienanteile UICC I bis UICC IV im Zeitraum 2002-2016, nur Register mit Daten aus komplettem Zeitraum)

Stadium	N	Altersgruppe ≥35 Jahre			Altersgruppe 35-64 Jahre			
		Segment	APC	[95% KI]	N	Segment	APC	[95% KI]
UICC I	31.682	2002-2010	1,2*	[0,4; 2,0]	17.108	2002-2016	0,6*	[0,3; 0,9]
		2010-2016	-0,2	[-1,1; 0,8]				
UICC II	9.144	2002-2016	-1,2*	[-2,3; -0,1]	3.313	2000-2016	-1,9*	[-3,2; -0,6]
UICC III	5.075	2002-2016	-0,1	[-0,9; 0,8]	2.521	2000-2016	0,3	[-0,7; 1,4]
UICC IV	2.209	2002-2016	-3,5*	[-5,4; -1,4]	1.017	2000-2016	-4,8*	[-6,5; -3,2]

*: zum Niveau $\alpha=0,05$ signifikant von null verschieden

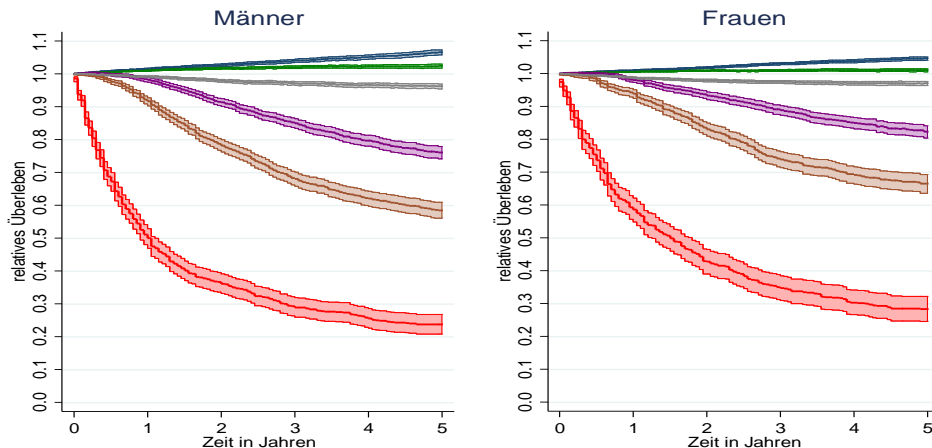
Modellierung der Mortalität → Cox-Regression (multivariabel)

Patienten im Alter von mind. 35 Jahren, ohne UICC 0 und UICC X, nur bevölkerungsbezogene Register, Follow-up für nichtverstorbene Patienten verlängert

Prädiktor	KFU bekannt (N=17.670)		KFU unbekannt (N=27.988)	
	Hazard Ratio	[95%-KI]	Hazard Ratio	[95%-KI]
Alter in Jahren [kontinuierlich]	1,06*	[1,06; 1,07]	1,05*	[1,05; 1,05]
Geschlecht [Referenz: männlich]	0,69*	[0,65; 0,73]	0,73*	[0,70; 0,77]
Diagnosedatum [Referenz: vor 01.07.2008]	1,07*	[1,00; 1,15]	0,89*	[0,84; 0,94]
Wohnort Ost / West [Referenz: West]	2,14*	[1,86; 2,46]	1,16*	[1,10; 1,23]
Wohnort Nord / Süd [Referenz: Süd]	0,81*	[0,76; 0,86]	1,01	[0,93; 1,09]
UICC-Stadium II [Referenz: UICC I]	2,43*	[2,26; 2,61]	2,94*	[2,76; 3,14]
UICC-Stadium III [Referenz: UICC I]	4,53*	[4,17; 4,92]	5,34*	[4,99; 5,72]
UICC-Stadium IV [Referenz: UICC I]	16,80*	[15,01; 18,80]	15,98*	[14,81; 17,23]

*: zum Niveau $\alpha=0,05$ signifikant von eins verschieden

Relatives 5-Jahres-Überleben nach Stadium und Geschlecht



N= 96.496 *

* Daten bevölkerungsbezogener Register (n=12, Follow-up für nichtverstorbene Patienten verlängert)

Stadium: 0 I II III IV X

Männer:	Overall	95,5%	[94,1%; 95,0%]
N= 48.687	(ohne UICC X)	93,8%	[93,2%; 94,3%]
	0	106,6%	[105,8%; 107,4%]
	I	102,5%	[101,9%; 103,1%]
	II	76,2%	[74,2%; 78,0%]
	III	58,6%	[56,1%; 61,0%]
	IV	23,8%	[20,9%; 26,9%]
	X	96,2%	[95,5%; 97,0%]

Frauen:	Overall	96,6%	[96,3%; 97,0%]
N= 47.809	(ohne UICC X)	96,4%	[96,0%; 96,9%]
	0	104,7%	[104,1%; 105,2%]
	I	101,1%	[100,6%; 101,5%]
	II	82,4%	[80,1%; 84,2%]
	III	66,6%	[63,7%; 69,4%]
	IV	28,4%	[24,7%; 33,3%]
	X	97,1%	[96,4%; 97,6%]

Zusammenfassung und Diskussion

⇒ Daten zu ca. 120.000 Melanompatienten

- Altersverteilung geschlechtsspezifisch
- Lokalisation alters- und geschlechtsspezifisch
- Histologie altersspezifisch

⇒ Diagnostizierte Stadien prognostisch günstiger

- über die Zeit (Diagnosedatum)
- für jüngere Patienten

⇒ Mortalität

- Unterscheidet sich zwischen Altersgruppen, Geschlechtern, Regionen und UICC-Stadien
- Widersprüchlicher Effekt der Einführung des Hautkrebsscreenings auf die Mortalität (KFU bekannt/unbekannt als Effektmodifikator)

Zusammenfassung und Diskussion

⇒ Überleben

- Für Frauen besser als für Männer
- Stadienspezifisch: in höheren Stadien (UICC II-IV) ungünstiger

⇒ Überleben international vergleichbar mit Industrienationen

⇒ Kein eindeutiger Effekt der Einführung des Hautkrebsscreenings auf die Stadienverteilung sichtbar

⇒ Vergleich mit Analyse zum DKK 2016

- Ähnliche Flächendeckung für D
- Längerer Zeitraum betrachtet
- Alters- und Geschlechtseffekte sowie Trends und Überleben bleiben weitgehend gleich

Wir danken

- allen Meldern
- allen Krebsregistern/Tumorzentren, die Daten für die vorliegende Auswertung bereit gestellt haben
Augsburg; Bayreuth; Brandenburg; CCC Ulm; Charité; Chemnitz; Dessau; Dresden; Erfurt; Erlangen-Nürnberg; Freiburg; Gera; Halle; Hamburg; Jena; Koblenz; Leipzig; Magdeburg; München; Nordhausen; OSP Göppingen; OSP Stuttgart; Regensburg; Rheinland-Pfalz; Schleswig-Holstein; Westfalen-Lippe; Wiesbaden; Zwickau
- der ADT für die Initiative
- dem gesamten Auswerteteam

Seitens der Autoren bestehen keine Interessenkonflikte.